



Laboratorium Badań Środowiskowych  
ul. Józefa Piusa Dziekońskiego 3  
00-728 Warszawa  
e-mail: [Laboratorium@networks.pl](mailto:Laboratorium@networks.pl)



AB 419

S P R A W O Z D A N I E 6944/2023/OS  
Z POMIARÓW PÓL ELEKTROMAGNETYCZNYCH  
WYKONANYCH DLA POTRZEB OCHRONY ŚRODOWISKA

Badany obiekt: Instalacja radiokomunikacyjna T-Mobile Polska S.A.  
Numer i nazwa: 32009 (42009N!) GKO\_KOSZALIN\_MONTECASSIN16  
Adres: KOSZALIN, ALEJA MONTE CASSINO 16, Powiat m. Koszalin,  
WOJ. ZACHODNIOPOMORSKIE

Data wykonania pomiarów: 2023-08-10

Sprawozdanie z badań bez pisemnej zgody laboratorium nie może być powielane inaczej niż w całości.  
Wynik przedstawione w niniejszym sprawozdaniu odnoszą się wyłącznie do badanego obiektu i do warunków i konfiguracji urządzeń w dniu wykonywania pomiarów.

**1. Właściciel badanego obiektu:**

T-Mobile Polska S.A., ul. Marynarska 12, 02-674 Warszawa

**2. Zleceniodawca:**

T-Mobile Polska S.A., ul. Marynarska 12, 02-674 Warszawa

**3. Przedstawiciel zleceniodawcy:**

NetWorkS! Sp.z o.o.

**4. Zakres zlecenia:**

Wykonanie badania i opracowanie sprawozdania z pomiarów natężenia pola elektrycznego i pola magnetycznego dla instalacji radiokomunikacyjnej T-Mobile Polska S.A. zlokalizowanej w miejscowości KOSZALIN, ALEJA MONTE CASSINO 16.

**5. Cel zlecenia:**

Wykonanie pomiarów pól elektromagnetycznych w otoczeniu instalacji radiokomunikacyjnej 32009 (42009N!) GKO\_KOSZALIN\_MONTECASSIN16 w odniesieniu do wymagań określonych w *Rozporządzeniu Ministra Klimatu z dnia 17 lutego 2020 r. w sprawie sposobów sprawdzania dotrzymania dopuszczalnych poziomów pól elektromagnetycznych w środowisku (Dz.U. 2022 poz. 2630)*.

**6. Pomiary zostały wykonane przez:**

Ciesielski Daniel  
Grzegorzewski Jan

**7. Informacje o źródłach pól elektromagnetycznych**

**7.1. Sposób identyfikacji badanych źródeł pól elektromagnetycznych**

Identyfikacji źródeł i parametrów technicznych dokonano na podstawie analizy dokumentacji dotyczącej zlecenia oraz obserwacji miejsca wykonywania badań.

**7.2. Opis miejsca zainstalowania anten i urządzeń technicznych. Opis obiektu badań i jego otoczenia**

Instalacja radiokomunikacyjna zlokalizowana jest na dachu. Anteny zawieszono na masztach usytowanych na dachu budynku. Urządzenia sterujące oraz zasilające zainstalowano w szafie outdoor na dachu budynku. Wokół instalacji znajduje się miasto.

Instalacja radiokomunikacyjna jest obiektem bezobsługowym. Okresowe stanowiska pracy związane są z prowadzonymi w zależności od potrzeb konserwacjami, przeglądami, strojeniem i naprawami.

### 7.3. Parametry techniczne źródła pola elektromagnetycznego

Dane przedstawiające maksymalne parametry pracy instalacji przekazane przez zleceniodawcę:

Parametry systemu nadawczo-odbiorczego:

Charakterystyka promieniowania		kierunkowa					
Rzeczywisty czas pracy [h/dobę]		24					
Warunki pracy		znamionowe					
Rodzaj wytwarzanego pola		stacjonarne					
Lp.	Częstotliwość lub zakresy częstotliwości pracy [MHz]	Typ/producent anteny	liczba anten	Azymut [°]	kąt pochylenia* [°]	Wysokość środka elektrycznego anteny [m n.p.t.]	Równoważna moc promieniowana izotropowo (EIRP) [W]
1	900	742264 Kathrein	1	0	7	41.1	3192
2	1800/2100	ATR4518R13v06 Huawei	1	0	6/6	41.1	15142
3	800/2600	ATR4518R13v06 Huawei	1	0	7/7	41.1	11773
4	900	742264 Kathrein	1	95	6	41.1	3192
5	1800/2100	ATR4518R13v06 Huawei	1	95	6/6	41.1	15142
6	800/2600	ATR4518R13v06 Huawei	1	95	6/6	41.1	11773
7	900	742264 Kathrein	1	215	8	41.1	3192
8	1800/2100	ATR4518R13v06 Huawei	1	215	7/7	41.1	15142
9	800/2600	ATR4518R13v06 Huawei	1	215	8/8	41.1	11773

\* wskazane wartości kąta pochylenia anten, zgodnie z informacją uzyskaną od zleceniodawcy, są wartościami stałymi

Transmisja realizowana drogą kablową

### 7.4 Inne źródła pól elektromagnetycznych

Na podstawie informacji otrzymanych od użytkownika oraz obserwacji otoczenia miejsca wykonywania pomiarów nie stwierdzono występowania innych źródeł pola-EM

## 8. Opis pomiarów

### 8.1. Metoda badań

Zgodna z rozporządzeniem Ministra Klimatu z dnia 17 lutego 2020 r. w sprawie sposobów sprawdzania dotrzymania dopuszczalnych poziomów pól elektromagnetycznych w środowisku (Dz.U. 2022 poz. 2630), określona w pkt 25 ppkt 1 załącznika do niniejszego rozporządzenia.

### 8.2. Termin pomiarów i warunki środowiskowe

Podczas wykonywania pomiarów pól elektromagnetycznych nie występowały opady atmosferyczne. Wyniki pomiaru parametrów pogodowych przedstawia poniższa tabela:

Data [rrrr-mm-dd]	Godzina [hh:mm-hh:mm]	Warunki środowiskowe			
		Temperatura [°C]		Wilgotność względna [%]	
2023-08-10	13:20-14:40	Przed pomiarem	Po pomiarach	Przed pomiarem	Po pomiarach
		17.3	17.8	57.3	57.0

Przedstawione wyżej warunki środowiskowe, występujące podczas wykonywania pomiarów pól elektromagnetycznych, są zgodne ze specyfikacją techniczną użytego zestawu pomiarowego.

Sprawozdanie z badań bez pisemnej zgody laboratorium nie może być powielane inaczej niż w całości.  
Wynik przedstawione w niniejszym sprawozdaniu odnoszą się wyłącznie do badanego obiektu i do warunków i konfiguracji urządzeń w dniu wykonywania pomiarów.

### 8.3. Warunki pracy urządzeń nadawczych

Podczas pomiarów w przypadku uzyskania wyniku pomiaru szerokopasmowego wykonanego zastosowaną metodą, dla zakresów częstotliwości od 10 MHz do 300 GHz, powiększonego o rozszerzoną niepewność pomiaru  $U$  dla współczynnika rozszerzenia  $k = 2$  przekraczającego 70% najniższej dopuszczalnej wartości składowej elektrycznej lub magnetycznej pola dla objętych pomiarami zakresów częstotliwości, uwzględnia się poprawki pomiarowe przekazane przez zleceniodawcę, umożliwiające uwzględnienie maksymalnych parametrów pracy instalacji zgodnie z pkt 7 załącznika do Rozporządzeniem Ministra Klimatu z dnia 17 lutego 2020 r. w sprawie sposobów sprawdzania dotrzymania dopuszczalnych poziomów pól elektromagnetycznych w środowisku (Dz. U. 2022, poz. 2630) zaznaczając, że wymagane jest wykonanie pomiaru z wykorzystaniem miernika selektywnego. W przypadku uzyskania wyniku pomiaru szerokopasmowego wykonanego zastosowaną metodą, dla zakresów częstotliwości od 10 MHz do 300 GHz, powiększonego o rozszerzoną niepewność pomiaru  $U$  dla współczynnika rozszerzenia  $k = 2$  nieprzekraczającego 70% najniższej dopuszczalnej wartości składowej elektrycznej lub magnetycznej pola dla objętych pomiarami zakresów częstotliwości, nie uwzględnia się poprawek pomiarowych.

### 8.4. Wyposażenie pomiarowe

Zestaw pomiarowy służący do pomiaru natężenia składowej elektrycznej pola elektromagnetycznego złożony z szerokopasmowego miernika i sondy pomiarowej:

Oznaczenie miernika	Producent	Model	Numer fabryczny	Oznaczenie sondy	Producent	Model	Numer fabryczny
MW-04	Wavecontrol	Miernik pól elektromagnetycznych SMP2	22SN1953	SW-07	Wavecontrol	Sonda WPF60	22WP230193

Mierniki natężenia pola elektromagnetycznego podlegają okresowemu sprawdzeniu zgodnie z procedurą wewnętrzną P-03 i PB-01. Świadectwo wzorcowania zestawu pomiarowego z dnia 10 maja 2023 o numerze LWiMP/W/172/23 wydane przez Politechnika Wrocławską.

Data ważności świadectwa wzorcowania: 10 maja 2025 (zgodnie z procedurą wewnętrzną P-03).

Termohigrometr:

Oznaczenie:	TH-13	Producent:	AZ INSTRUMENT CORP	Model:	Termohigrometr AZ8706
-------------	-------	------------	--------------------	--------	-----------------------

Data ważności świadectwa wzorcowania: 3 stycznia 2025 (zgodnie z procedurą wewnętrzną P-03).

Dalmierz:

Oznaczenie	Producent	Typ	Numer seryjny	Nr świadectwa wzorcowania	Data świadectwa wzorcowania
D-10	Leica	Dalmierz Leica Disto D510	1042956690	4609.13-M11-4180-1748/14	9 stycznia 2015

Data ważności świadectwa wzorcowania: 9 stycznia 2025 (zgodnie z procedurą wewnętrzną P-03).

Odbiornik GNSS:

Odbiornik GNSS wbudowany w miernik natężenia pola elektromagnetycznego użyty podczas pomiarów	Producent	Model
	UBlox	MAX-M8Q

Odbiorniki podlegają okresowemu sprawdzeniu zgodnie z procedurą wewnętrzną P-03.

Sprawozdanie z badań bez pisemnej zgody laboratorium nie może być powielane inaczej niż w całości.  
Wynik przedstawione w niniejszym sprawozdaniu odnoszą się wyłącznie do badanego obiektu i do warunków i konfiguracji urządzeń w dniu wykonywania pomiarów.

## 9. Wyniki pomiarów

### Pole elektryczne

Nr pionu	Opis umiejscowienia pionu (punktu pomiarowego)	Wysokość pomiaru [m]	Zmierzona wartość natężenia pola elektrycznego E [V/m] <sup>1,5</sup>	Wartość natężenia pola elektrycznego powiększona o niepewność pomiaru <sup>4</sup> E [V/m]	Wskaźnikowa wartość poziomu emisji pól elektromagnetycznych WMe <sup>3</sup>	Współrzędne geograficzne pionu (punktu pomiarowego) <sup>2</sup>
1	GKP w odległości 30m od anteny sektorowej az. 0°	0.3-2.0	<1.0*	1.3	0.05	54°11'56.4" 16°11'15.4"
2	DPP otwarte okno na piętrze pomieszczenia technicznego ośrodka NFZ	2.0	1.3	1.7	0.06	54°11'56.8" 16°11'16.4"
3	DPP otwarte okno na piętrze ośrodka NFZ ,Młyńska 13	2.0	1.8	2.3	0.08	54°11'52.8" 16°11'12.8"
4	GKP w odległości 78m od anteny sektorowej az. 215°, pokój 402 na piętrze, recepcja ,otwarte okno	2.0	2.0	2.6	0.09	54°11'52.4" 16°11'13.6"
5	DPP pomiar ,płaszczyzna okna budynku NFZ na parterze	0.3-2.0	<1.0*	1.3	0.05	54°11'53.5" 16°11'13.2"
6	DPP ostatnie piętro ,balkon ,Okulickiego 12/25	2.0	2.0	2.6	0.09	54°11'54.2" 16°11'20.4"
7	GKP w odległości 72m od anteny sektorowej az. 95°, otwarte okno klatki schodowej ostatnie piętro, Okulickiego 12	2.0	2.2	2.8	0.1	54°11'54.2" 16°11'20.0"
8	DPP otwarte okno balkonowe ostatnie piętro, Okulickiego 14/26, brak dostępu 14/27 odmowa dostępu	2.0	<b>2.8</b>	3.6	0.13	54°11'55.0" 16°11'20.0"
9	DPP ostatnie piętro klatki schodowej otwarte okno, Okulickiego 14	2.0	2.3	3	0.11	54°11'54.6" 16°11'20.0"
10	DPP otwarte okno ostatnie piętro pokoju, Monte Casino 14/66	0.3-2.0	<1.0*	1.3	0.05	54°11'53.9" 16°11'17.9"
11	DPP ostatnie piętro balkon mieszkania Monte Casino 16/64	2.0	1.7	2.2	0.08	54°11'55.3" 16°11'15.4"
12	DPP klatka schodowa, Monte Casino 16 , brak dostępu 16/61,62, odmowa dostępu 16/65	0.3-2.0	<1.0*	1.3	0.05	54°11'54.6" 16°11'16.1"
13	DPP klatka schodowa płaszczyzna okna ,ostatnie piętro, Monte Casino 16	2.0	1.8	2.3	0.08	54°11'54.6" 16°11'16.1"
14	PKP 1m.od narożnika budynku technicznego	2.0	1.5	1.9	0.07	54°11'55.0" 16°11'18.2"
15	GKP w odległości 3m od anteny sektorowej az. 0°	0.3-2.0	<1.0*	1.3	0.05	54°11'55.3" 16°11'15.4"
16	GKP w odległości 23m od anteny sektorowej az. 0°	0.3-2.0	<1.0*	1.3	0.05	54°11'56.0" 16°11'15.4"
17	GKP w odległości 76m od anteny sektorowej az. 0°	0.3-2.0	<1.0*	1.3	0.05	54°11'57.8" 16°11'15.4"
18	GKP w odległości 5m od anteny sektorowej az. 95°	0.3-2.0	<1.0*	1.3	0.05	54°11'54.6" 16°11'16.4"

Sprawozdanie z badań bez pisemnej zgody laboratorium nie może być powielane inaczej niż w całości.  
Wynik przedstawione w niniejszym sprawozdaniu odnoszą się wyłącznie do badanego obiektu i do warunków i konfiguracji urządzeń w dniu wykonywania pomiarów.

19	GKP w odległości 37m od anteny sektorowej az. 95°	2.0	1.4	1.8	0.06	54°11'54.6" 16°11'18.2"
20	GKP w odległości 66m od anteny sektorowej az. 95°	2.0	1.7	2.2	0.08	54°11'54.6" 16°11'19.7"
21	GKP w odległości 6m od anteny sektorowej az. 215°	0.3-2.0	<1.0*	1.3	0.05	54°11'54.2" 16°11'15.7"
22	GKP w odległości 34m od anteny sektorowej az. 215°	2.0	1.6	2.1	0.07	54°11'53.5" 16°11'14.6"
23	GKP w odległości 66m od anteny sektorowej az. 215°	2.0	1.8	2.3	0.08	54°11'52.8" 16°11'13.9"
24	PKP na az. 284° w odległości 30m od anteny sektorowej az. 0°	0.3-2.0	<1.0*	1.3	0.05	54°11'55.7" 16°11'13.9"
25	PKP na az. 32° w odległości 36m od anteny sektorowej az. 95°	2.0	1.3	1.7	0.06	54°11'55.7" 16°11'17.2"
26	PKP na az. 167° w odległości 45m od anteny sektorowej az. 215°	0.3-2.0	<1.0*	1.3	0.05	54°11'53.2" 16°11'16.4"
-	GKP w odległości 216m od anteny sektorowej az. 0°	0.3-2.0	<1.0*	1.3	0.05	54°12'2.2" 16°11'15.4"
-	GKP w odległości 213m od anteny sektorowej az. 95°	0.3-2.0	<1.0*	1.3	0.05	54°11'53.9" 16°11'28.0"
-	GKP w odległości 194m od anteny sektorowej az. 215°	0.3-2.0	<1.0*	1.3	0.05	54°11'49.6" 16°11'9.6"

Pole magnetyczne (wyznaczone na podstawie pomiaru wartości natężenia pola elektrycznego)

Nr pionu	Opis umiejscowienia pionu (punktu pomiarowego)	Wysokość pomiaru [m]	Wartość natężenia pola magnetycznego H [A/m] <sup>1</sup>	Wartość natężenia pola magnetycznego powiększona o niepewność pomiaru <sup>4</sup> H [A/m]	Wskaźnikowa wartość poziomu emisji pól elektromagnetycznych WM <sub>H</sub> <sup>3</sup>	Współrzędne geograficzne pionu (punktu pomiarowego) <sup>2</sup>
1	GKP w odległości 30m od anteny sektorowej az. 0°	0.3-2.0	<0.003*	0.003	0.05	54°11'56.4" 16°11'15.4"
2	DPP otwarte okno na piętrze pomieszczenia technicznego ośrodka NFZ	2.0	0.003	0.004	0.06	54°11'56.8" 16°11'16.4"
3	DPP otwarte okno na piętrze ośrodka NFZ ,Młyńska 13	2.0	0.005	0.006	0.08	54°11'52.8" 16°11'12.8"
4	GKP w odległości 78m od anteny sektorowej az. 215°, pokój 402 na piętrze, recepcja ,otwarte okno	2.0	0.005	0.007	0.09	54°11'52.4" 16°11'13.6"
5	DPP pomiar ,płaszczyzna okna budynku NFZ na parterze	0.3-2.0	<0.003*	0.003	0.05	54°11'53.5" 16°11'13.2"
6	DPP ostatnie piętro ,balkon ,Okulickiego 12/25	2.0	0.005	0.007	0.09	54°11'54.2" 16°11'20.4"
7	GKP w odległości 72m od anteny sektorowej az. 95°,otwarte okno klatki schodowej ostatnie piętro, Okulickiego 12	2.0	0.006	0.007	0.1	54°11'54.2" 16°11'20.0"
8	DPP otwarte okno balkonowe ostatnie piętro, Okulickiego 14/26, brak dostępu 14/27 odmowa dostępu	2.0	<b>0.007</b>	0.01	0.13	54°11'55.0" 16°11'20.0"
9	DPP ostatnie piętro klatki schodowej otwarte okno, Okulickiego 14	2.0	0.006	0.008	0.11	54°11'54.6" 16°11'20.0"

Sprawozdanie z badań bez pisemnej zgody laboratorium nie może być powielane inaczej niż w całości.  
Wynik przedstawione w niniejszym sprawozdaniu odnoszą się wyłącznie do badanego obiektu i do warunków i konfiguracji urządzeń w dniu wykonywania pomiarów.

10	DPP otwarta okno ostatnie piętro pokoju, Monte Casino 14/66	0.3-2.0	<0.003*	0.003	0.05	54°11'53.9" 16°11'17.9"
11	DPP ostatnie piętro balkon mieszkania Monte Casino 16/64	2.0	0.005	0.006	0.08	54°11'55.3" 16°11'15.4"
12	DPP klatka schodowa, Monte Casino 16, brak dostępu 16/61,62, odmowa dostępu 16/65	0.3-2.0	<0.003*	0.003	0.05	54°11'54.6" 16°11'16.1"
13	DPP klatka schodowa płaszczyzna okna, ostatnie piętro, Monte Casino 16	2.0	0.005	0.006	0.08	54°11'54.6" 16°11'16.1"
14	PKP 1m. od narożnika budynku technicznego	2.0	0.004	0.005	0.07	54°11'55.0" 16°11'18.2"
15	GKP w odległości 3m od anteny sektorowej az. 0°	0.3-2.0	<0.003*	0.003	0.05	54°11'55.3" 16°11'15.4"
16	GKP w odległości 23m od anteny sektorowej az. 0°	0.3-2.0	<0.003*	0.003	0.05	54°11'56.0" 16°11'15.4"
17	GKP w odległości 76m od anteny sektorowej az. 0°	0.3-2.0	<0.003*	0.003	0.05	54°11'57.8" 16°11'15.4"
18	GKP w odległości 5m od anteny sektorowej az. 95°	0.3-2.0	<0.003*	0.003	0.05	54°11'54.6" 16°11'16.4"
19	GKP w odległości 37m od anteny sektorowej az. 95°	2.0	0.004	0.005	0.07	54°11'54.6" 16°11'18.2"
20	GKP w odległości 66m od anteny sektorowej az. 95°	2.0	0.005	0.006	0.08	54°11'54.6" 16°11'19.7"
21	GKP w odległości 6m od anteny sektorowej az. 215°	0.3-2.0	<0.003*	0.003	0.05	54°11'54.2" 16°11'15.7"
22	GKP w odległości 34m od anteny sektorowej az. 215°	2.0	0.004	0.005	0.07	54°11'53.5" 16°11'14.6"
23	GKP w odległości 66m od anteny sektorowej az. 215°	2.0	0.005	0.006	0.08	54°11'52.8" 16°11'13.9"
24	PKP na az. 284° w odległości 30m od anteny sektorowej az. 0°	0.3-2.0	<0.003*	0.003	0.05	54°11'55.7" 16°11'13.9"
25	PKP na az. 32° w odległości 36m od anteny sektorowej az. 95°	2.0	0.003	0.004	0.06	54°11'55.7" 16°11'17.2"
26	PKP na az. 167° w odległości 45m od anteny sektorowej az. 215°	0.3-2.0	<0.003*	0.003	0.05	54°11'53.2" 16°11'16.4"
-	GKP w odległości 216m od anteny sektorowej az. 0°	0.3-2.0	<0.003*	0.003	0.05	54°12'2.2" 16°11'15.4"
-	GKP w odległości 213m od anteny sektorowej az. 95°	0.3-2.0	<0.003*	0.003	0.05	54°11'53.9" 16°11'28.0"
-	GKP w odległości 194m od anteny sektorowej az. 215°	0.3-2.0	<0.003*	0.003	0.05	54°11'49.6" 16°11'9.6"

GKP – Główny Kierunek Pomiarowy  
DPP – Dodatkowy Pion Pomiarowy  
PKP – Pomocniczy Kierunek Pomiarowy

<sup>1</sup> wyniki oznaczone \* są wynikami poniżej czułości zestawu pomiarowego

<sup>2</sup> współrzędne geograficzne pozyskane metodą pomiaru bezpośredniego

<sup>3</sup> do wyznaczenia wartości wskaźnikowej  $W_{ME}$  i  $W_{MH}$  przyjęto na podstawie uzgodnień z klientem oraz rozpoznania źródeł, jako wartości dopuszczalne pola elektrycznego i magnetycznego odpowiednio 28 V/m i 0,073 A/m.

<sup>4</sup> do wyznaczenia niepewności dla wyników poniżej czułości zestawu pomiarowego, przyjęto niepewność dla minimalnej wartości z zakresu pomiarowego.

<sup>5</sup> maksymalna wartość chwilowa

Niepewność oszacowano zgodnie z dokumentem P-03 „Procedura nadzoru nad wyposażeniem” w postaci niepewności rozszerzonej wynikającej z niepewności standardowej pomnożonej przez współczynnik rozszerzenia  $k=2$ .

Całkowita szacowana niepewność rozszerzona składowej E wynosi odpowiednio: 28.3% dla częstotliwości do 3 GHz

Umieszczenie pionów (punktów) pomiarowych przedstawiono w załączniku nr 2 do niniejszego sprawozdania.

Sprawozdanie z badań bez pisemnej zgody laboratorium nie może być powielane inaczej niż w całości.  
Wynik przedstawione w niniejszym sprawozdaniu odnoszą się wyłącznie do badanego obiektu i do warunków i konfiguracji urządzeń w dniu wykonywania pomiarów.

## 10. Omówienie wyników pomiarów

W związku z tym, że żadna z wartości zmierzonych, udokumentowanych w tabelach w pkt. 9, uzyskanych w skutek zastosowania pomiaru szerokopasmowego, powiększonego o rozszerzoną niepewność pomiaru  $U$  dla współczynnika rozszerzenia  $k = 2$  nie przekroczyła 70% najniższej dopuszczalnej wartości składowej elektrycznej lub magnetycznej pola dla objętych pomiarami zakresów częstotliwości, nie uwzględnia się poprawek pomiarowych.

W wyniku zastosowania sposobu sprawdzenia dotrzymania dopuszczalnych poziomów pól elektromagnetycznych w środowisku, zgodnie pkt 25 ppkt 1 Rozporządzenia Ministra Klimatu z dnia 17 lutego 2020 r. (Dz. U. 2022, poz. 2630), w związku z tym, że żadna z wartości wskaźnikowych, udokumentowanych w tabelach w pkt. 9 nie przekracza wartości 1, stwierdza się, że w miejscach, w których wykonano pomiary w otoczeniu instalacji radiokomunikacyjnej 32009 (42009N!) GKO\_KOSZALIN\_MONTECASSIN16, dopuszczalne poziomy pól elektromagnetycznych w środowisku należy uznać za dotrzymane.

Miejsca niedostępne podczas wykonywania pomiarów wskazane zostały w pkt. 9 (Wyniki pomiarów) lub na załączniku przedstawiającym usytuowanie pionów pomiarowych.

## 11. Podstawa prawna

- 1) Ustawa z dnia 27 kwietnia 2001 r. Prawo ochrony środowiska (Dz.U. 2022 poz. 2556)
- 2) Rozporządzenie Ministra Zdrowia z dnia 17 grudnia 2019 r. w sprawie dopuszczalnych poziomów pól elektromagnetycznych w środowisku (Dz. U. 2019, poz. 2448)
- 3) Rozporządzenie Ministra Klimatu z dnia 17 lutego 2020 r. w sprawie sposobów sprawdzania dotrzymania dopuszczalnych poziomów pól elektromagnetycznych w środowisku (Dz. U. 2022, poz. 2630),
- 4) Akredytacja nr AB 419 wydana przez Polskie Centrum Akredytacji (wydanie 21, z dnia 11 kwietnia 2023 r.)

## 12. Spis załączników

- Załącznik 1. Lokalizacja obiektu badań
- Załącznik 2. Usytuowanie pionów (punktów) pomiarowych
- Załącznik 3. Dokumentacja fotograficzna obiektu badań

## 13. Data wydania i autoryzowania sprawozdania

Obliczenia i sprawozdanie wykonał :

Sprawozdanie autoryzował:

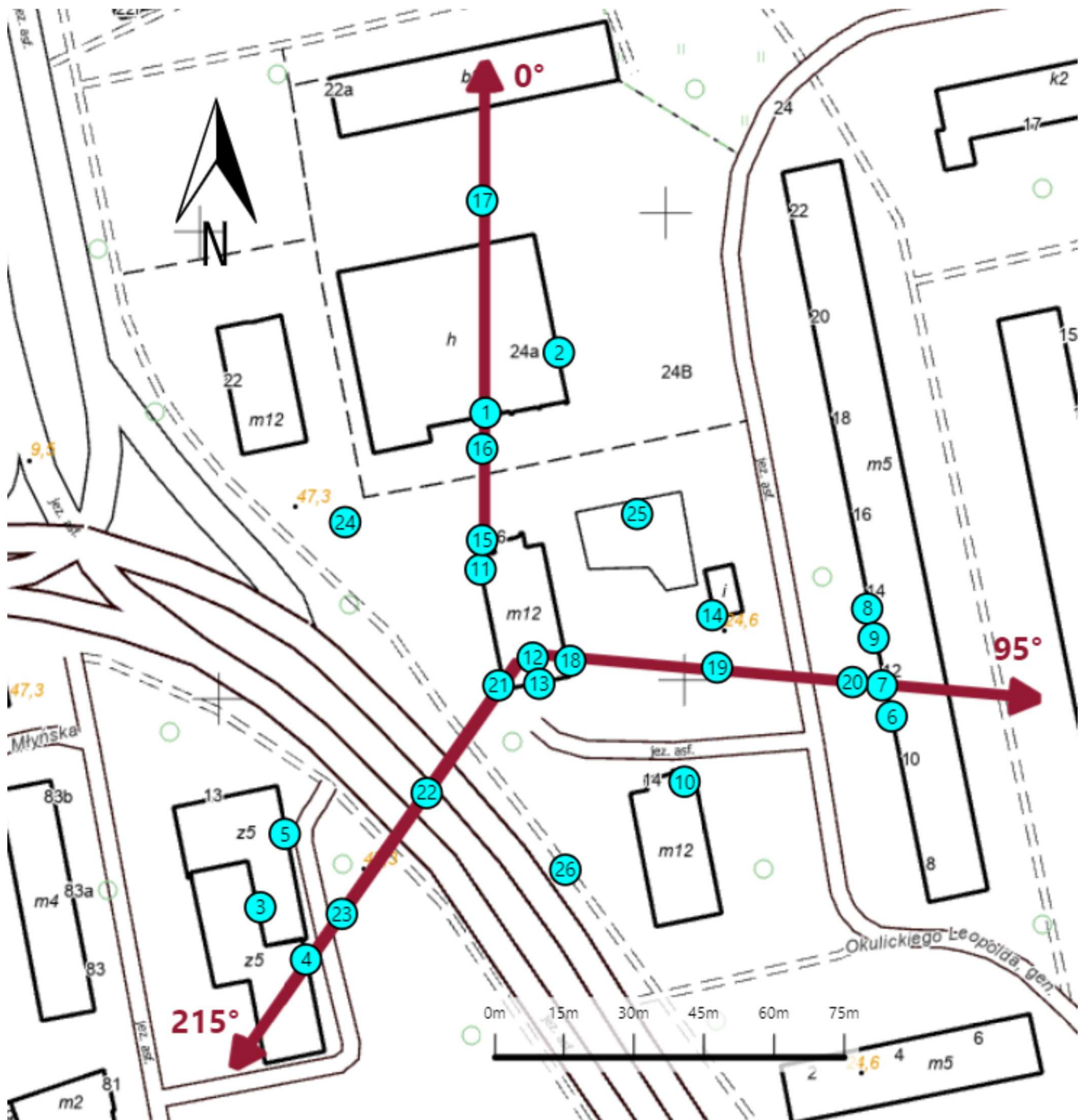
**Koniec sprawozdania**




Sprawozdanie z badań bez pisemnej zgody laboratorium nie może być powielane inaczej niż w całości.  
Wynik przedstawione w niniejszym sprawozdaniu odnoszą się wyłącznie do badanego obiektu i do warunków i konfiguracji urządzeń w dniu wykonywania pomiarów.





Załącznik nr 1	Instalacja radiokomunikacyjna T-Mobile Polska S.A. (42009N!) GKO_KOSZALIN_MONTECASSIN16 Lokalizacja instalacji
----------------	--



Załącznik nr 2	<p style="text-align: center;">Instalacja radiokomunikacyjna T-Mobile Polska S.A. GKO_KOSZALIN_MONTECASSIN16 (42009N!) Usytuowanie pionów pomiarowych w otoczeniu instalacji radiokomunikacyjnej</p>
Legenda:	<p style="text-align: center;">  Pion pomiarowy             <span style="margin-left: 150px;"></span> Kierunek oddziaływania anten sektorowych             <span style="margin-left: 150px;"></span> Kierunek oddziaływania anten radioliniowych         </p>



Załącznik nr 3

Instalacja radiokomunikacyjna T-Mobile Polska S.A.  
(42009N!) GKO\_KOSZALIN\_MONTECASSIN16

Dokumentacja fotograficzna